

柳枯叶蛾多角体病毒的观察*

武 观 文 常 绍 慧
(云 南 林 学 院)

柳枯叶蛾 (*Bhima undulosa* Walker) 分布于我国云南省;印度及印度尼西亚。主要为害柳树。在云南北部地区每年发生一代,7月间老熟幼虫群集于树干,枝权的背阴处结薄茧化蛹,成虫7—8月出现,幼虫越冬(朱弘复等,1975)。

1975年初室内饲养的柳枯叶蛾幼虫因罹多角体病毒病而死亡,此后又在野外见到因多角体病死亡于树干和树枝上的幼虫。为了开发我国天敌微生物资源;为了寻找对柳枯叶蛾有效的防治方法,我们对该病毒进行了初步的研究。据所掌握的资料,国内外尚未报道过此种病毒。

材料和方法

1. 多角体大小测定 在普通光学显微镜下用测微尺测定。每个片子测5个视野,每个视野随机抽样测定30个多角体。共测10个玻片标本。

2. 染色 多角体需用酸或碱处理后方能染色(有贺久雄,1973)。我们用1N盐酸浸润固定标本,并在酒精灯上加热致有蒸气产生而不致沸腾,处理3—5分钟后水洗,结晶紫(孔雀绿、伊红或番红都可)染色3—5分钟,水洗后观察,多角体染成深蓝色,边缘清晰。

3. 制片 选取明显患病但还没有死亡的幼虫为材料。剪去一个腹足或刺破体壁,将流出的体液滴在载片上,盖上盖片用普通显微镜或相差显微镜观察病虫的血细胞。

制片观察气管壁细胞时,将病虫从腹部纵向剪开投入10%甲醛中固定,取出树枝状的气管,用1%的NaOH或1N盐酸浸润并火焰加热处理十分钟,水洗后5%伊红染色十分钟,吸水纸吸去多余染液,再水洗二次,用水溶性封固剂甘油封固,长期保存则需石蜡严密封固(田中克己,1957)。

观察脂肪组织时,取脂肪组织一小块,用苏丹III染色5—10分钟,滴加水溶性封固剂,加盖片稍压后观察。

4. 感染力的测定 试验用幼虫系野外采虫,室内产卵,孵化饲养的2龄幼虫;多角体病毒采自昆明温泉的感病幼虫,通过虫体扩大繁殖,所得病虫尸体加无菌水自然腐解一周,纱布过滤,3,500转/分离心洗涤2次,得多角体粗提纯。将此样品稀释成不同浓度,用血球计数板计数后涂抹于柳叶表面,晾干后饲虫;清水对照。24小时后换无病毒新叶。出现典型病症,镜检有多角体者计为病毒死亡。

5. 电镜观察 多角体: 将纯化的多角体作成悬液,滴加于载网上,金属投影后观察; 病毒: 纯化的多角体用0.01M Na₂CO₃ + 0.05M NaCl溶解,12,000转/分沉淀病毒,磷酸缓冲液负染。

结果和讨论

1. 痘症 患病幼虫食欲减退,行动迟钝,死亡时往往用腹足或尾足钩住树干或树枝,成倒“V”字形或倒挂于树枝上。体壁变软,体内组织明显液化解体,死亡较久的虫尸体壁一触即破,流出褐色或咖啡色体液,无臭味。

2. 多角体和病毒粒子形态 从电镜照片(图版I, 1)来看,柳枯叶蛾多角体呈不规则的多角形,有三角、四边、六边和近圆形等多种形状,边缘常有突起。多角体直径0.53—1.99微米,平均1.26微米。

病毒粒子的形状是分类学上的重要特征。柳枯叶蛾的病毒粒子杆状,多数病毒粒子成束存在,也常见到单个存在的粒子(图版I, 2),根据电镜照片测定,病毒粒子长约370毫微米,宽约75毫微米,病毒束直径约110毫微米。

3. 幼虫体液、脂肪组织和气管壁细胞观察
健康幼虫的体液浅绿色,除有少量血细胞外不见其他颗粒;病死较久的体液是咖啡色,由于各种细

* 脂肪组织和气管壁细胞照片系云南林学院李天庆同志摄制。

表 1 柳枯叶蛾多角体病毒感染试验

浓 度 (多角体/每毫升)	试 验 虫 数	非病毒病死亡数	病毒病死亡数	病 毒 病 死 亡 %
2.64×10^8	95	1	94	98.9
2.64×10^7	93	3	81	87.1
2.64×10^6	95	5	37	38.9
对照1(无菌水)	95	2	21	22.1
对照2(无菌水)	95	2	20	21.1

虫龄：二龄(在试验中进入三龄)；试验温度：23—25℃；试验日期：75年7月13日—7月28日。

胞解体，只能见到悬浮着的大量多角体；患病未死的幼虫体液是黄绿色或浅褐色，可见到在膨大的血细胞的核中形成很多多角体。

感染了病毒的脂肪组织失去了原来的透明白色，成为乳白或浅黄色，并呈腐烂状态，苏丹III染色后，可分别染上红色的脂肪颗粒与存在于细胞核中不被染色的多角体(图版1, 3)。

在气管壁细胞的核中有明显的多角体形成(图版1, 4)。

4. 感染力 感染力是各种病原微生物病原性的表现，是一种重要的生物学特性，在防治实践上也有重要意义。据我们初步试验结果(表1)在多角体浓度 $2.46 \times 10^{6.8}$ /毫升范围内，幼虫有显著感染性。

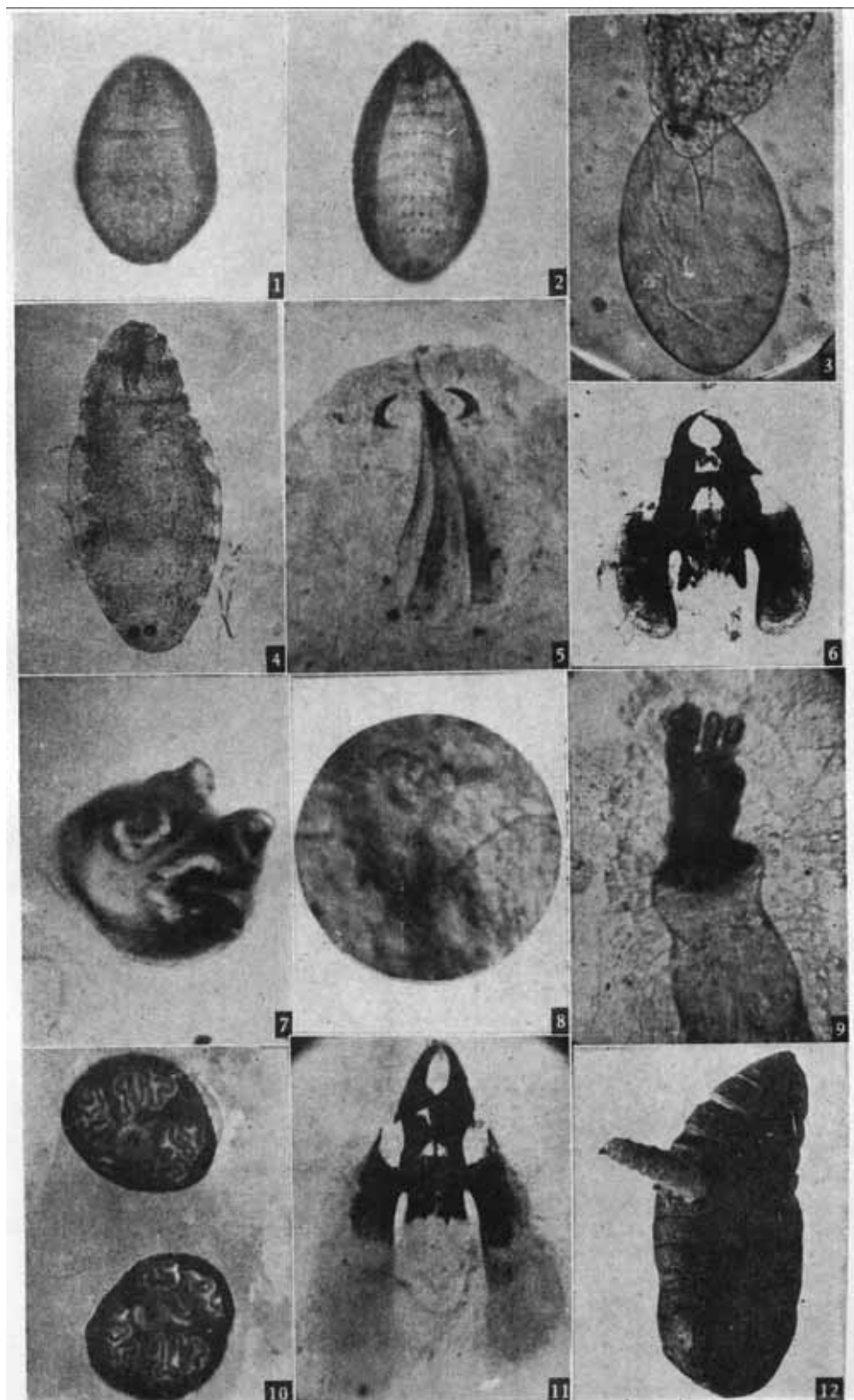
5. 讨论 根据观察研究，柳枯叶蛾多角体病毒的包含体产生在细胞核内，呈多角形，病毒粒子杆状，单个或呈束的存在于一个共同的外膜之内等特点，按国际病毒命名委员会1971年建议提出的病毒分类系统，柳枯叶蛾多角体病毒属于杆状病毒属A亚组(*Baculovirus subgroup A*)的一个种。是核型多角体病毒。

参 考 资 料

- 朱弘复等 1975 蛾类图册, 133页。
 有贺久雄 1973 昆虫病理汎论, 121页。
 田中克己(长伯译) 1957 显微镜标本的制作法, 271页。

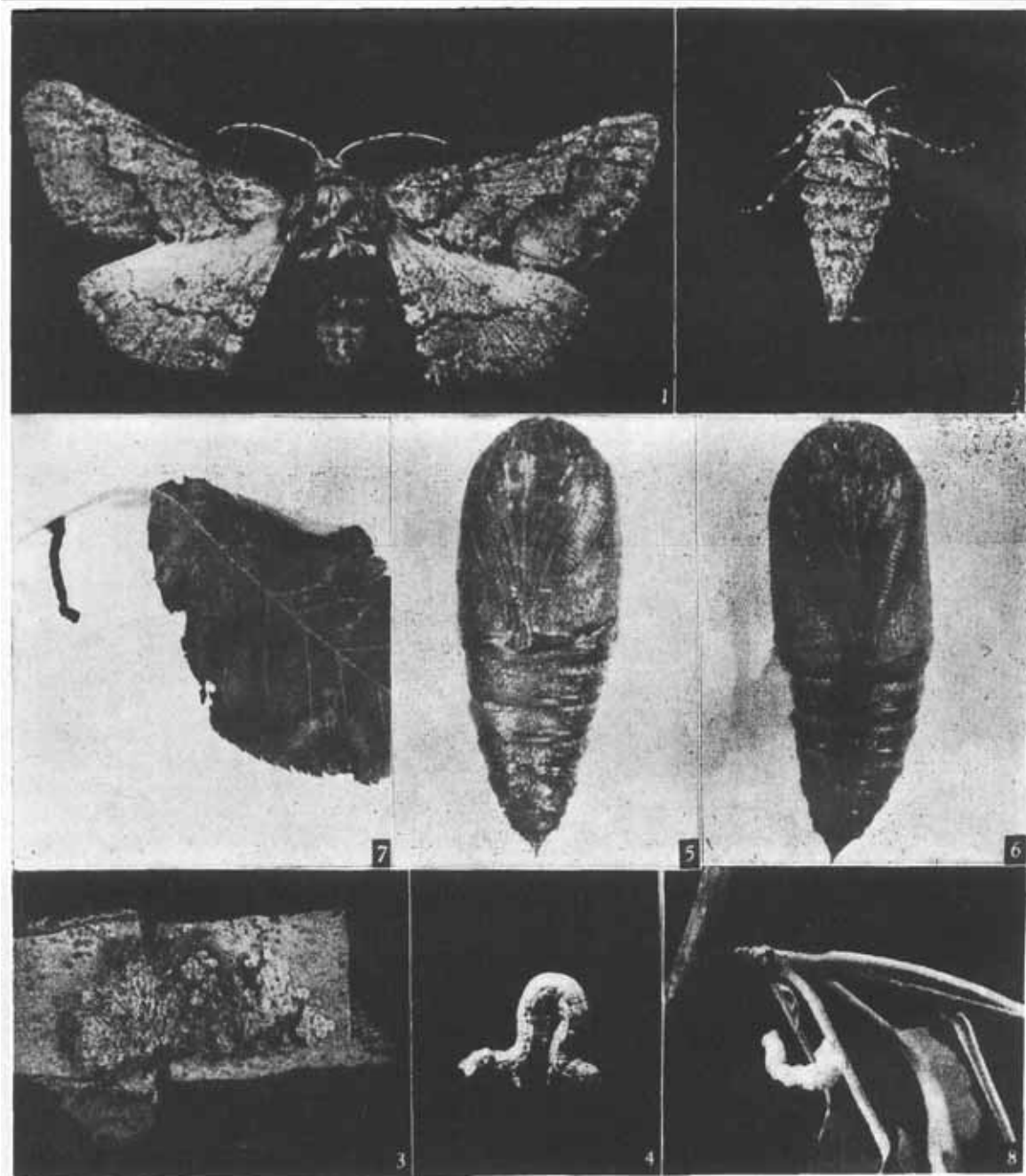
OBSERVATIONS ON A POLYHEDRAL VIRUS OF *BHIMA UNDULOSA* WALKER

WU JIN-WEN CHANG SHAO-HUI
(Yunan College of Forestry)

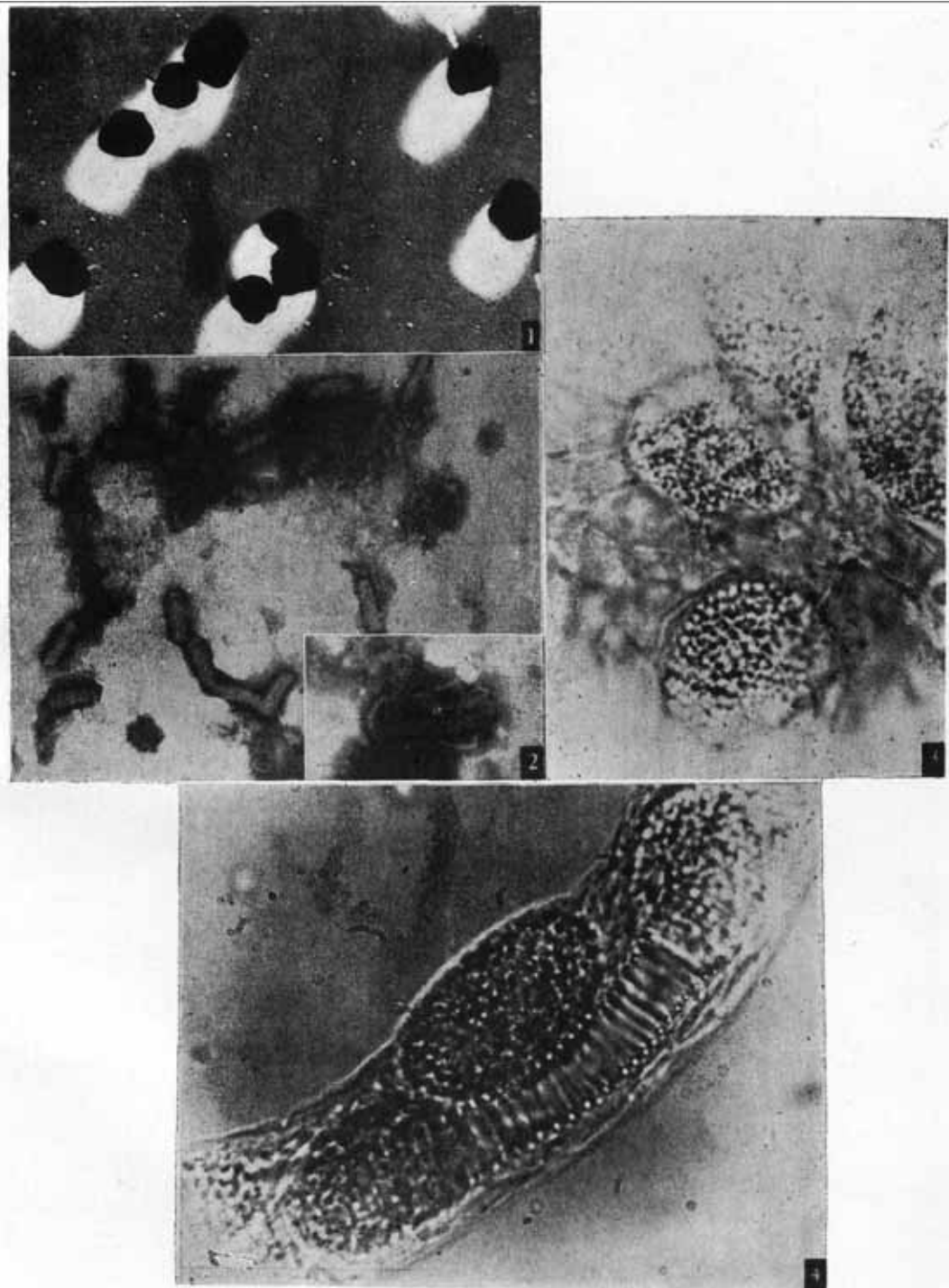


柞蚕饰腹寄蝇的卵、幼蛆、1-3 龄蛆的口咽器及气门

1. 成熟卵的背面观，示卵壳上六角形刻纹；
2. 成熟卵的腹面观，示卵内幼蛆；
3. 幼蛆从卵钻出之状；
4. 刚孵出的幼蛆；
5. 一龄蛆前端示口咽器，其两侧已出现二龄蛆的颚钩；
6. 二龄蛆的口咽器；
7. 二龄蛆后气门(一侧)，示气门裂；
8. 二龄蛆前气门(一侧)，示指突；
9. 三龄蛆前气门(一侧)，示指突；
10. 三龄蛆后气门，示气门裂及气门组；
11. 三龄蛆的口咽器；
12. 蛆蛆从蛆蚕(蛹)体壁钻出之状。



1. 雄蛾； 2. 雌蛾； 3. 卵； 4. 幼虫； 5. 雌蛹； 6. 雄蛹； 7. 感染青虫菌的幼虫尸体；
8. 感染白僵菌的幼虫尸体。



1. 柳枯叶蛾核多角体，铂铱投影 ($6,370\times$)。
2. 柳枯叶蛾核多角体病毒电镜照片，磷钨酸负染 ($20,300\times$)。右下角一个病毒束外膜已破，膜内可看到两个病毒杆 ($40,000\times$)。
3. 感染核多角体病毒的脂肪细胞核 ($1,200\times$)。
4. 感染核多角体病毒的气管壁细胞 ($1,200\times$)。